V. 85, N 2 **JOURNAL OF APPLIED SPECTROSCOPY**

MARCH — APRIL 2018

ИК-ФУРЬЕ-СПЕКТРОСКОПИЧЕСКОЕ ИССЛЕДОВАНИЕ СИСТЕМ НАНО-ZrO₂+HAHO-SiO₂+H₂O ПОД ДЕЙСТВИЕМ ГАММА-ИЗЛУЧЕНИЯ

Т. Н. Агаев*, Н. Н. Гаджиева, С. З. Меликова

УДК 620.3;539.166.2

Институт радиационных проблем НАН Азербайджана, AZ 1143, Баку, ул. Б. Вагабзаде, 9, Азербайджан; e-mail: agayevteymur@rambler.ru

(Поступила 3 апреля 2017)

Методом ИК-фурье-спектроскопии изучено радиационное разложение воды в системе нано- ZrO_2 +нано- SiO_2 + H_2O при комнатной температуре (T=300~K) под воздействием у-квантов. Показано, что адсорбция воды в нанооксидах циркония и кремния происходит по молекулярному и диссоциативному механизмам. Зарегистрированы промежуточно-активные продукты радиационно-гетерогенного разложения воды — гидриды циркония и кремния, гидроксильные группы. Изменение соотношения нанопорошков ZrO_2 и SiO_2 приводит к уменьшению радиационно-каталитической активности по сравнению с исходным ZrO_2 .

Ключевые слова: нанооксиды циркония и кремния, вода, радиационное разложение, γ -квант, ИК-фурье-спектроскопия, радиационно-химический выход $G(H_2)$.

The radiation decomposition of water in a nano- ZrO_2 +nano- SiO_2 + H_2O system at T=300 K under the action of gamma-radiation is studied by Fourier-transform IR spectroscopy. It is shown, that water adsorption in Zr and Si nanooxides happens by the molecular and dissociative mechanisms. Intermediate active products of the radiation-heterogeneous water decomposition are registered including Zr and Si hydrides, hydroxide groups. It is shown that changes in the ratio of ZrO_2 and SiO_2 nanopowders result in a decrease of the radiation-catalytic activity comparing to the initial ZrO_2 .

Keywords: Zr and Si nanooxides, water, radiation decomposition, γ -quanta, Fourier-transform IR spectroscopy, radiation-chemical yield $G(H_2)$.

На основе исследований радиолиза воды с участием ряда дисперсных оксидов металлов под воздействием γ-излучения установлено, что применение нанопорошковых оксидов (ZrO₂, SiO₂, TiO₂, Al₂O₃ и др.) в качестве катализаторов значительно увеличивает скорость накопления молекулярного водорода [1—4]. При этом резко возрастает радиационно-химический выход H₂ по сравнению с выходами как гомогенного, так и гетерогенного процесса разложения H₂O, в котором в качестве катализаторов используются микроразмерные оксиды [5—7]. Среди этих нанооксидов наиболее перспективными представляются диоксиды циркония (ZrO₂) и кремния (SiO₂), так как они являются селективными катализаторами для радиационно-гетерогенных процессов [6, 7]. Для выявления механизма радиационно-каталитического действия оксидных катализаторов в процессах радиолиза воды применялись различные методы, в том числе спектроскопические [8, 9]. В частности, методом ИК-фурьеспектроскопии изучено радиационно-термическое разложение воды в нано-ZrO₂ в интервале температур 300—673 К [9]. Зарегистрированы промежуточные продукты радиационно-гетерогенного разложения воды: ион-радикалы молекулярного кислорода, перекиси водорода, гидрид циркония и гидроксильные группы. Методом ИК спектроскопии изучен также гидроксильный покров и электронноакцепторные свойства самого нано-ZrO₂ [4]. В работе [10] рассмотрены влияние γ-радиации на нано-

FOURIER-TRANSFORM IR SPECTROSCOPY OF THE NANO-ZrO₂+NANO-SiO₂+H₂O SYSTEMS EXPOSED TO GAMMA-RADIATION

T. N. Agayev*, N. N. Gadzhieva, S. Z. Melikova (Institute of Radiation Problems, National Academy of Sciences of Azerbaijan, 9 B. Vahabzade Str., AZ1143, Baku, Azerbaijan; e-mail: agayevteymur@rambler.ru)

352 АГАЕВ Т. Н. и др.

 SiO_2 и изменение полос поглощения OH-групп и молекул воды при комнатной температуре и дозе облучения 25—200 кГр. Однако в литературе фактически отсутствуют спектроскопические данные по радиационному разложению воды в смеси нано- ZrO_2 +нано- SiO_2 + H_2O .

В настоящей работе представлены результаты ИК-фурье-спектроскопических исследований радиационного разложения воды в гетерогенной системе нано- ZrO_2 +нано- SiO_2 + H_2O при комнатной температуре ($T=300~{\rm K}$) под воздействием γ -квантов с целью установления роли промежуточно активных частиц (ион-радикальных групп) в этих процессах. Соотношение нанопорошков нано- ZrO_2 + нано- SiO_2 варьировалось: $0.1~{\rm r}+0.1~{\rm r}$, $0.05~{\rm r}+0.15~{\rm r}$ и $0.15~{\rm r}+0.05~{\rm r}$.

Сведения о влиянии второго компонента на поверхностные физико-химические и радиационно-каталитические свойства бинарной системы нано- ZrO_2 +нано- SiO_2 ограниченны. Поэтому для выявления влияния взаимодействия между компонентами на радиационно-каталитические свойства исследована кинетика процессов получения водорода при гетерогенном радиолизе воды в зависимости от соотношения компонентов в системе нано- ZrO_2 +нано- SiO_2 .

Нами использованы нанопорошки ZrO_2 и SiO_2 чистотой 99.9 % (Sky Spring Nanomaterials) с частицами размерами d=20—30 и 20—60 нм. Рентгенофазовым методом установлено, что образец ZrO_2 обладает моноклинной центрально-симметричной кристаллической структурой [2]. Перед адсорбцией образцы диоксидов циркония и кремния подвергались термовакуумной обработке при $T=673~{\rm K}$ и давлении 10^{-3} Па в течение 8 ч для очистки от органических загрязнений и дегидроксилирования поверхности. Контроль за чистотой поверхности осуществлялся по интенсивности полос, обусловленных водой и углеводородными загрязнениями.

ИК-фурье-спектры поглощения зарегистрированы на спектрометре Varian 640IR в диапазоне 4000—400 см $^{-1}$ при комнатной температуре. Для этого из нанопорошков ZrO_2 и SiO_2 прессовались таблетки толщиной 50—100 мкм. ИК спектры образцов измерены в специальной кварцевой кювете с окнами из CaF_2 , позволяющей получить спектры адсорбированной воды, разлагаемой под действием γ -излучения [2]. При перекрывании полос, относящихся к различным формам адсорбированной воды, проведено разложение суммарного контура на индивидуальные компоненты по методике [1].

Адсорбатом служила бидистиллированная вода, из которой посторонние газы удалялись многократным вымораживанием в ловушке с жидким азотом с последующей откачкой. Адсорбция паров воды изучена по методике [2]. Радиационное разложение воды в системе нано- ZrO_2 +нано- SiO_2 + H_2O проведено при комнатной температуре ($T=300~{\rm K}$). Образцы облучались на изотопном источнике ⁶⁰Со мощностью дозы $dD_{\gamma}/dt=0.20~{\rm Гр/c}$. Дозиметрия источника проведена ферросульфатным и метановым дозиметрами [4]. Поглощенная доза облучения в исследуемых системах определена сравнением электронных плотностей. Время облучения $\tau=15~{\rm tr}~(D_{\gamma}=10.8~{\rm k}{\rm \Gamma}{\rm p})$.

ИК спектры нано- ZrO_2 , нано- SiO_2 и системы (0.1 г нано- ZrO_2)+(0.1 г нано- SiO_2)+ H_2O до и после адсорбции воды при воздействии у-облучения приведены на рис. 1. у-Облучение указанной системы проведено дозой 10.8 кГр при T = 300 К. Как видно из рис. 1 (кривые I, 2), поверхности нано-ZrO₂ и нано-SiO₂, прошедшие термовакуумную термообработку, чистые, так как в их спектрах отсутствуют полосы поглощения (ПП), обусловленные наличием воды и углеводородных загрязнений [3]. В спектрах в области решеточных колебаний нано-ZrO₂ (800—400 см⁻¹) обнаруживаются ПП с максимумом при 745 см $^{-1}$ и дублет 490 и 410 см $^{-1}$ (кривая I). ПП 745 и 490 см $^{-1}$ относятся к асимметричным колебаниям Zr- O_2 -Zr и валентным Zr-O [5]. В области решеточных колебаний нано-SiO₂ (1400—400 см⁻¹) в спектрах обнаруживаются ПП с максимумами 472, 798, 1095 см⁻¹ (кривая 2), которые относятся к симметричным и асимметричным валентным колебаниям Si-O и Si-O₂-Si. Изменение соотношения нанопорошков ZrO₂ и SiO₂ сопровождается перераспределением интенсивностей ПП Zr-O и Si-O. В необлученной гетеросистеме после адсорбции воды на поверхности диоксидов циркония и кремния в области валентных колебаний ОН-групп появляются ПП, указывающие на протекание адсорбции молекулярной формы (интенсивные широкие полосы с максимумами при 3240 и 3280 см⁻¹ в области 3500—3000 см⁻¹) и диссоциативной хемосорбции (сравнительно узкие полосы с максимумами 3450, 3475, 3520, 3580 см⁻¹) (кривая 3). Протекание адсорбции двух видов подтверждается также присутствием ПП в области деформационных колебаний ОН с максимумами при 1610, 1630, 1640 и 1680 см⁻¹.

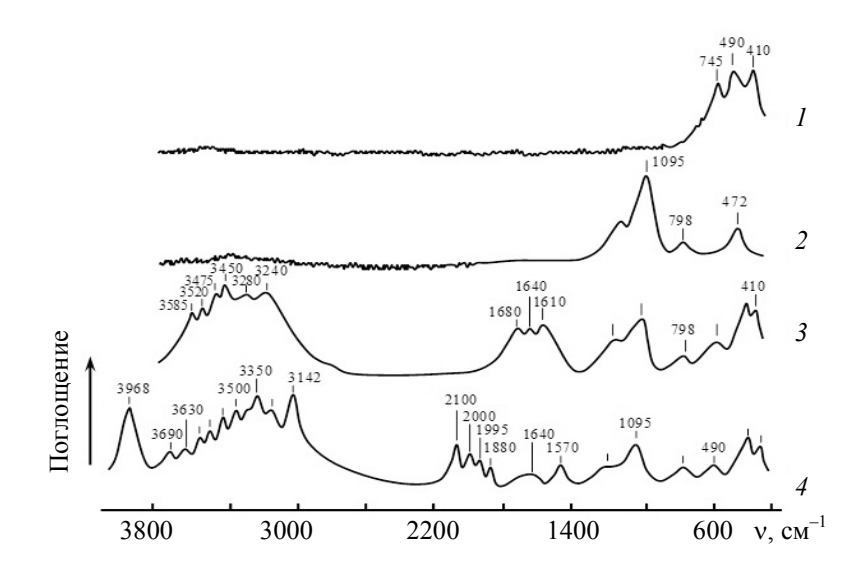


Рис. 1. ИК-фурье-спектры нано- $ZrO_2(I)$, нано- $SiO_2(2)$ и системы (0.1 г нано- ZrO_2)+(0.1 г нано- SiO_2)+ H_2O до (3) и после воздействия γ -радиации (4)

Облучение гетеросистемы $(0.1\ r$ нано- ZrO_2)+ $(0.1\ r$ нано- SiO_2)+ H_2O γ -квантами при комнатной температуре (300 K) приводит к радиационному разложению воды и образованию промежуточно-активных продуктов разложения (кривая 4). Среди них наиболее интересны поверхностные гидриды циркония и кремния. Так, в области частот 2000— $1700\ cm^{-1}$ появляются ПП с максимумами 2100, $2000\ cm^{-1}$) и $1880\ cm^{-1}$, относящиеся к валентным колебаниям Zr–H (1995, $1880\ cm^{-1}$) и Si–H (2100, $2000\ cm^{-1}$) и указывающие на образование поверхностных гидридов циркония и кремния типов ZrH, ZrH_2 , SiH, SiH_2 [6], среди которых наиболее стабильными формами являются ZrH_2 и SiH_2 . К сожалению, нам не удалось зарегистрировать ПП кислородсодержащих промежуточных поверхностных частиц разложения воды, так как они перекрываются с ПП валентных колебаний Si–O (1200—900 см $^{-1}$).

Изменения в области валентных колебаний ОН-групп, связанные с радиационным разложением воды в гетерогенной системе нано- ZrO_2 +нано- SiO_2 + H_2O , представлены на рис. 1. В ИК спектрах поглощения образцов нано- ZrO_2 +нано- SiO_2 + H_2O с адсорбированной водой в области валентных колебаний ОН-групп и воды (v = 4000— 3000 cm^{-1}) наблюдаются ПП водородосвязанных групп с максимумами 3580, 3520, 3475, 3450 см⁻¹, а также адсорбированных молекул воды при 3280 и 3240 см⁻¹.

Радиационное разложение воды при комнатной температуре сопровождается уменьшением интенсивности ПП молекулярной воды, появлением ПП водородосвязанных ОН-групп при 3350, 3500 см $^{-1}$, а также новых ПП при 3630 и 3690 см $^{-1}$. Последние ПП относятся к изолированным ОН-группам. Как известно, основные продукты радиолиза воды в нанопорошковых системах оксидов — молекулярный кислород [O₂] и водород [H₂] [1—5]. Кроме газообразного состояния эти молекулы частично адсорбируются на поверхности нанопорошков оксидов циркония и кремния. Анализ спектров разложения воды в γ -облученной системе (0.1 г нано-ZrO₂)+(0.1 г нано-SiO₂)+H₂O показывает, что в них наблюдаются новые ПП при 1570, 3142 и 3968 см $^{-1}$. Возможно, ПП при 1570 и 3142 см $^{-1}$ относятся к адсорбированным молекулам [O₂] в незаряженной форме [13]. Наноструктура порошков ZrO₂ и SiO₂ позволяет обнаружить наряду с основной ПП (ν_1 = 1570 см $^{-1}$) поверхностно-адсорбированного молекулярного кислорода и ее обертон (ν_{o6} = 2 ν_1 = 3142 см $^{-1}$). ПП при ν_{o6} = 3968 см $^{-1}$ относится к поверхностно-адсорбированному молекулярному водороду [H₂]_{адс} [13]. Изменение содержания нанопорошков ZrO₂ и SiO₂ приводит к перераспределению интенсивностей ПП, что связано с изменением средних значений удельной поверхности смеси нанопорошков.

В табл. 1 приведены экспериментальные радиационно-химические выходы молекулярного водорода $G(H_2)$ в зависимости от соотношения нанопорошков ZrO_2 и SiO_2 . Наибольшее значение $G(H_2)$ — при концентрации 75 мас.% нано- ZrO_2 (в системе (0.15 г нано- ZrO_2)+(0.05 г нано- SiO_2) + H_2O), что связано с наибольшей активностью поверхностно-активных центров типа Zr^{4+} .

354 АГАЕВ Т. Н. и др.

Таблица 1. Радиационно-химические выходы молекулярного водорода при различных соотношениях нанопорошков нано-ZrO₂ и нано-SiO₂ в системе нано-ZrO₂+нано-SiO₂+H₂O

Образец	$G_{9 \text{кc}}(\text{H}_2)$, молекул/100 эВ
нано-ZrO ₂ +H ₂ O	13.5
нано-SiO ₂ +H ₂ O	3.2
(0.15 г нано-ZrO ₂)+(0.05 г нано-SiO ₂)+H ₂ O	11
(0.1 г нано-ZrO ₂)+(0.1 г нано-SiO ₂)+H ₂ O	8.8
$(0.05 \Gamma \text{нано-ZrO}_2) + (0.15 \Gamma \text{нано-SiO}_2) + H_2O$	4.5

Таким образом, показана возможность применения метода ИК-фурье-спектроскопии для изучения радиационных процессов в гетерогенной системе нано- ZrO_2 +нано- SiO_2 + H_2O при комнатной температуре под воздействием γ -квантов. Выявлено, что адсорбция воды в нанооксидах циркония и кремния протекает по молекулярным и диссоциативным механизмам. Облучение указанной гетеросистемы при поглощенной дозе $10.8~\mathrm{k}\Gamma\mathrm{p}$ приводит к радиационно-химичекому разложению H_2O . В отличие от гомогенной фазы радиолиз воды в присутствии нанооксидов циркония и кремния сопровождается образованием промежуточных продуктов разложения поверхностных гидридов Zr(Si) и гидроксильных групп. Определены радиационно-химические выходы H_2 . Показано, что изменение соотношения нанопорошков ZrO_2 и SiO_2 вызывает изменение радиационной активности гетеросистемы нано- ZrO_2 +нано- SiO_2 + H_2O .

- [1] H. Miyata, K. Fuji, S. Inui, Y. Kuvakova. Appl. Spectr., 40, N 8 (1986) 1177
- [2] **А. А. Гарибов, Т. Н. Агаев, Г. Т. Иманова, С. 3. Меликова, Н. Н. Гаджиева.** Химия высоких энергий, **48**, № 3 (2014) 239—243
- [3] А. А. Гарибов, Х. Б. Гезалов, Г. З. Велибекова. Химия высоких энергий, 21, № 6 (1987) 505—510
- [4] А. К. Пикаев. Дозиметрия в радиационной химии, Москва, Наука (1975)
- [5] S. Seino, R. Fujimoto, T. A. Yamamoto. Mater. Res. Soc. Sump. Proc. (1999) 505
- [6] S. Sutoshi, T. A. Yamamoto, R. Fujimoto. J. Nucl. Sci. Technol., 38, N 5 (1989) 633—636
- [7] A. Cesal, O. Hauta, A. Macovei, Rev. Roum. Chim., 23, N 9 (2008) 875—880
- [8] N. G. Petrik, A. B. Alexandrov, A. I. Vall. J. Phys. Chem. B, 105 (2001) 5935—5944
- [9] S. H. Ranjan, R. G. Ranga. Mater. Ici. Ind. Acad. Sci., 23, N 5 (2000) 349—354
- [10] A. G. Perez-Luna, A. L. Martinez-Hemandez, G. M.Barrera, C. V. Santes. Adv. Mater. Lett., 7, N 2 (2016) 156—162
- [11] А. А. Давыдов. ИК-спектроскопия в химии поверхности окислов, Новосибирск, Наука (1984) 27—30
- [12] **Х. Б. Гезалов, А. А. Гарибов, Р. Д. Касумов, А. М. Гасанов, М. М. Алиев.** Химия высоких энергий, **23**, № 5 (1989) 472—473
- [13] **А. Н. Харламов, Н. А. Зубарева, Е. В. Лунина.** Вестн. Моск. ун-та. Сер. 2. Химия, **39**, № 1 (1998) 29—33